

Materiais Elétricos e Magnéticos para Engenharia

Prof. Marcus V. Batistuta
batistuta@unb.br

Aula-1

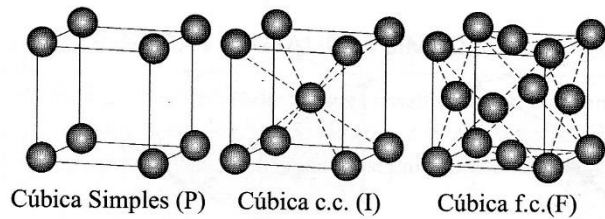
Ondas e Partículas na Matéria

1º Semestre de 2018

FGA - Universidade de Brasília

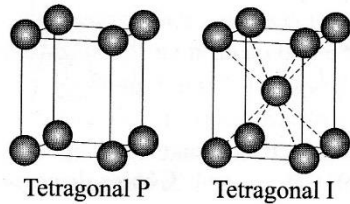
14 Tipos Básicos de Redes Cristalinas de Bravais

Auguste Bravais (1850)



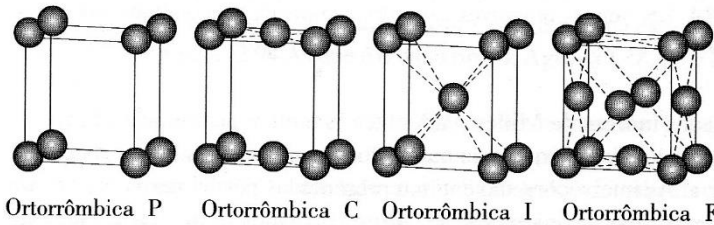
$$a = b = c$$

$$\alpha = \beta = \gamma = 90^\circ$$



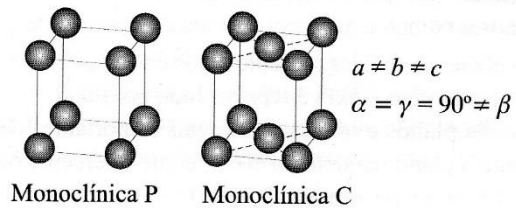
$$a = b \neq c$$

$$\alpha = \beta = \gamma = 90^\circ$$



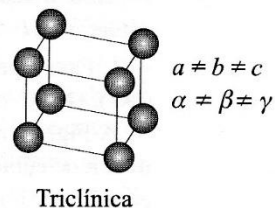
$$a \neq b \neq c$$

$$\alpha = \beta = \gamma = 90^\circ$$



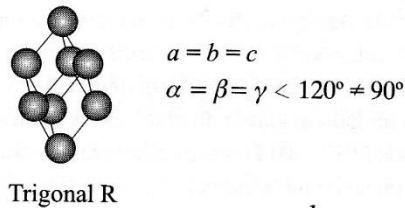
$$a \neq b \neq c$$

$$\alpha = \gamma = 90^\circ \neq \beta$$



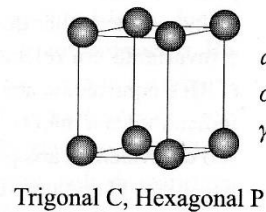
$$a \neq b \neq c$$

$$\alpha \neq \beta \neq \gamma$$



$$a = b = c$$

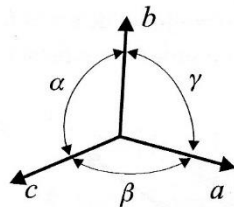
$$\alpha = \beta = \gamma < 120^\circ \neq 90^\circ$$



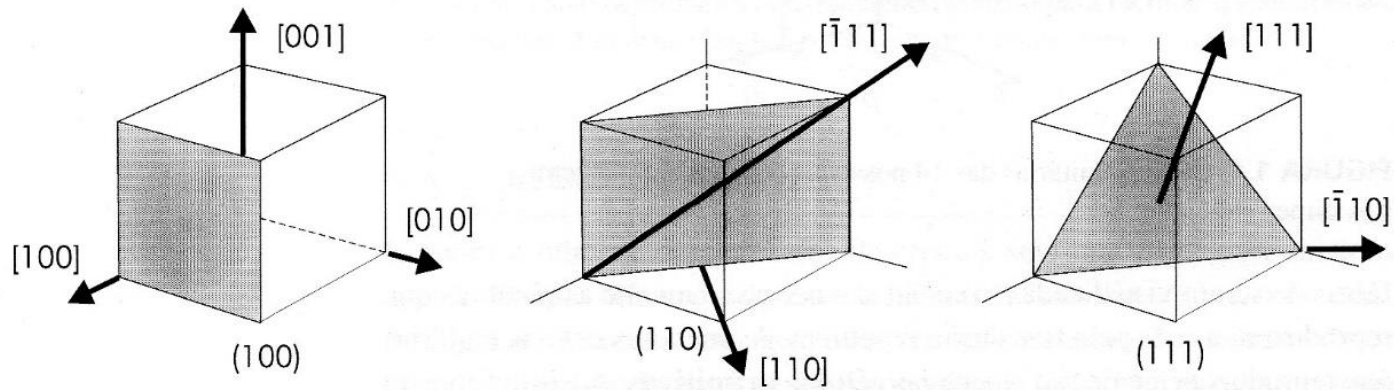
$$a = b \neq c$$

$$\alpha = \beta = 90^\circ$$

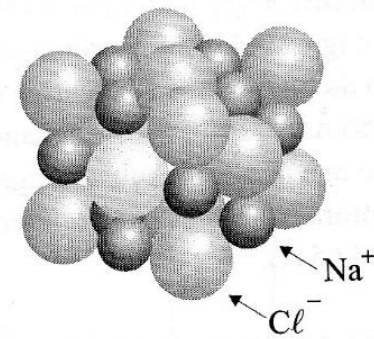
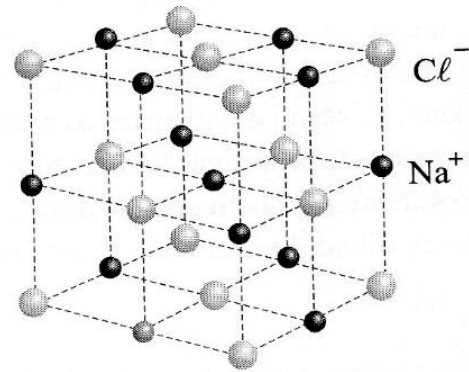
$$\gamma = 120^\circ$$



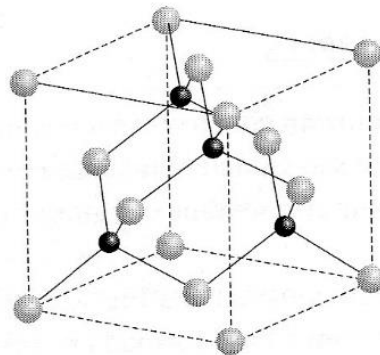
Pirita (FeS_2)
Cúbico



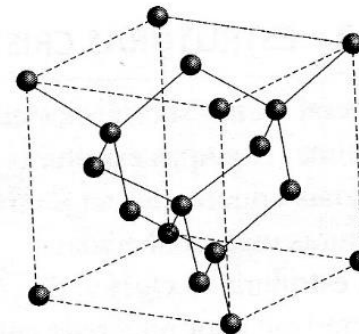
Índices de Miller (Rede Cúbica)



NaCl

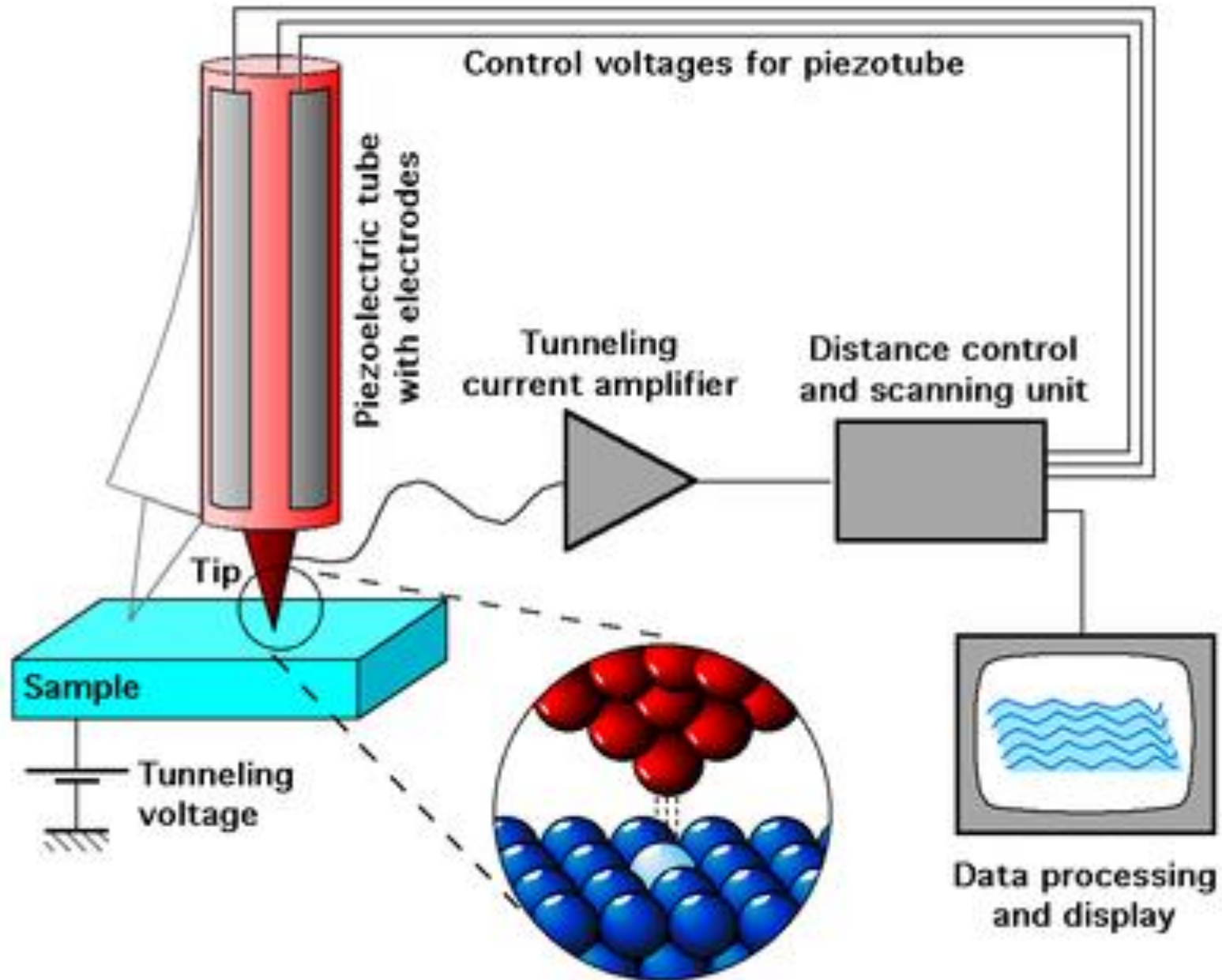


ZnS, GaAs

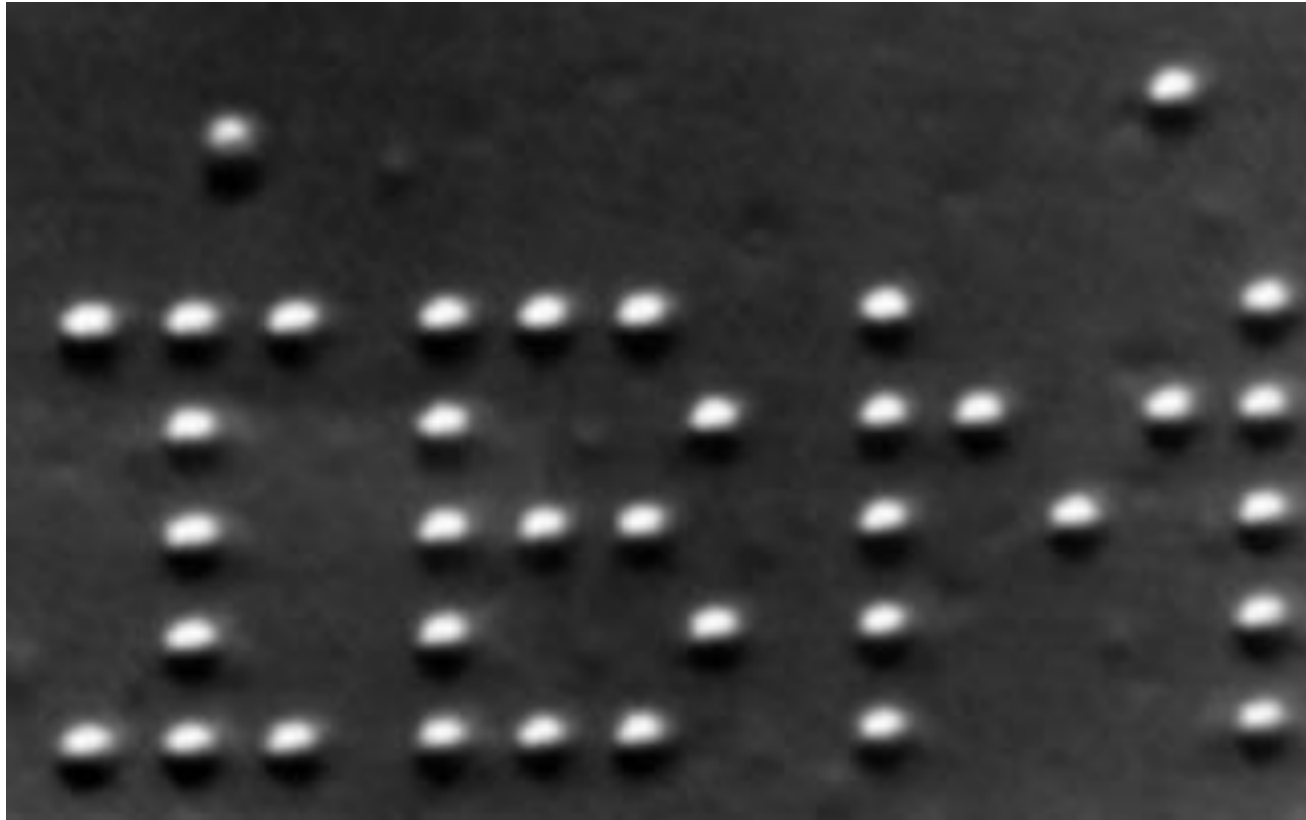


Si, Ge

Scanning Tunneling Microscope (STM)



Scanning Tunneling Microscope (STM)

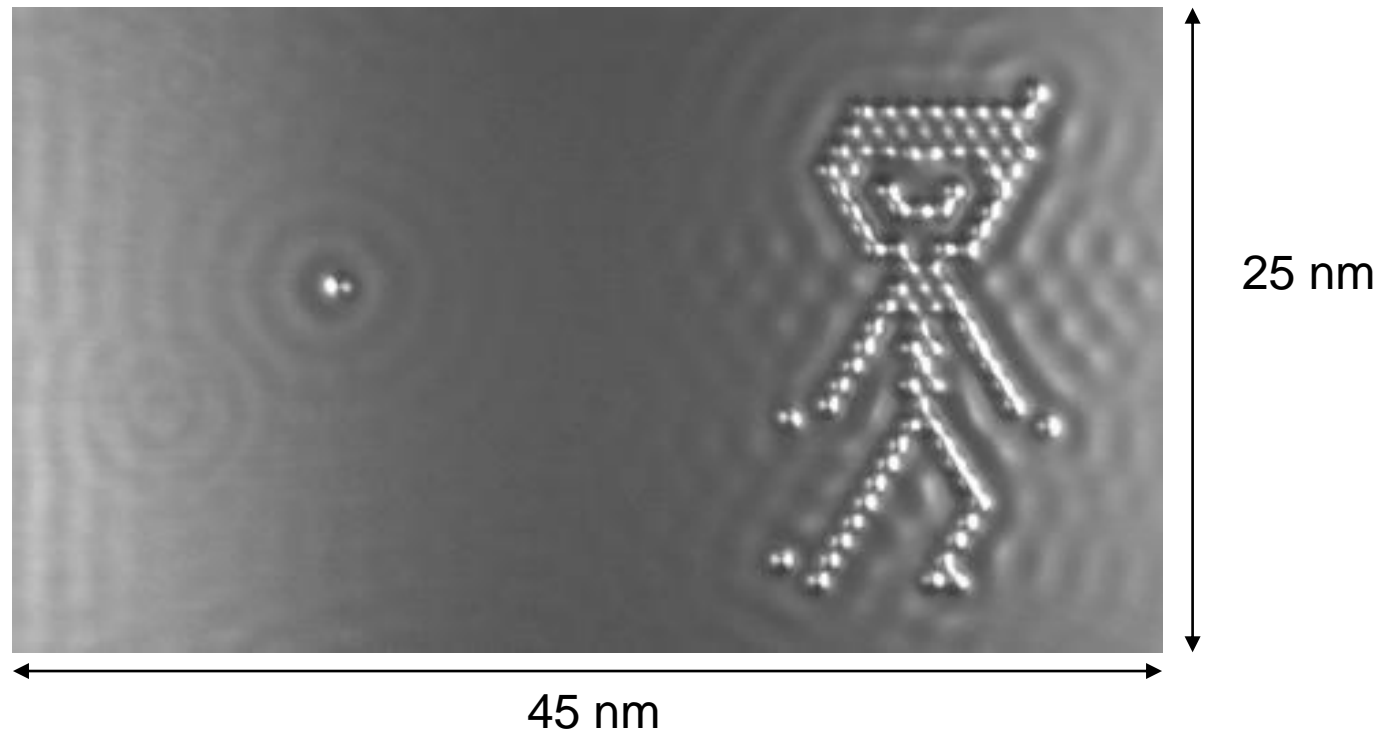


Átomos de Xenônio sobre Níquel

Donald Eigler and Erhard Schweizer of the IBM Almaden Research Center in San Jose, California, 1989.

STM: Animação com Átomos

A Boy and His Atom (2013)



Técnica: Stop-motion com átomos de monóxido de carbono sobre cobre.
(242 imagens com 65 moléculas de dióxido de carbono)

Duração: 2 semanas (dias de 18 horas)

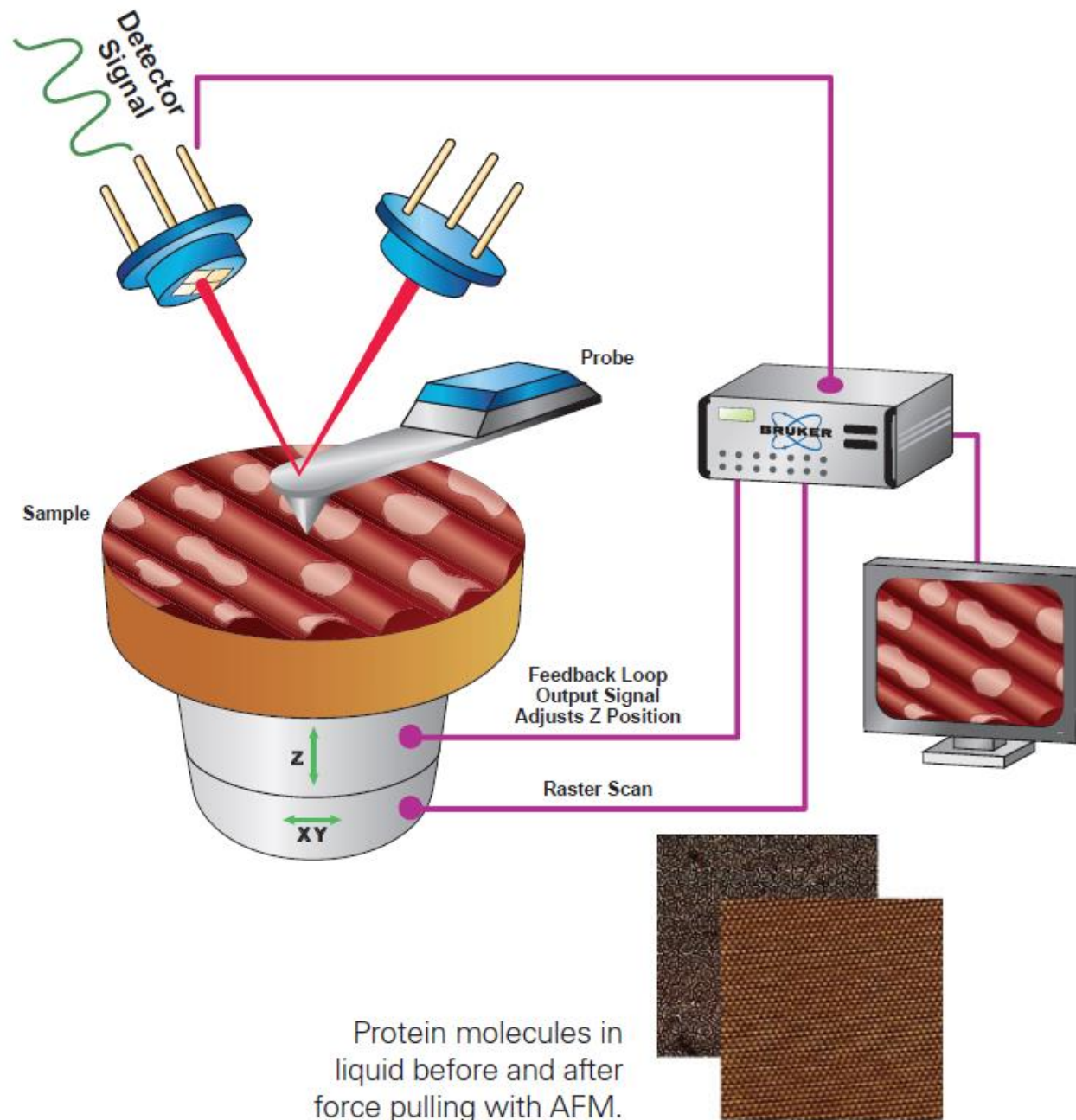
Magnificação: $\times 10^8$

Temperatura: 5 K

Distância de Manipulação: 1 nm

<https://www.youtube.com/watch?v=oSCX78-8-q0>

Atomic Force Microscope (AFM)



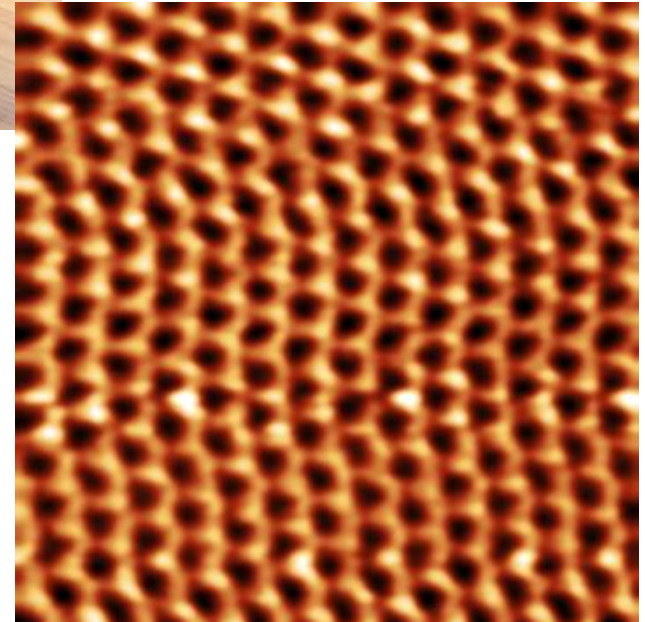
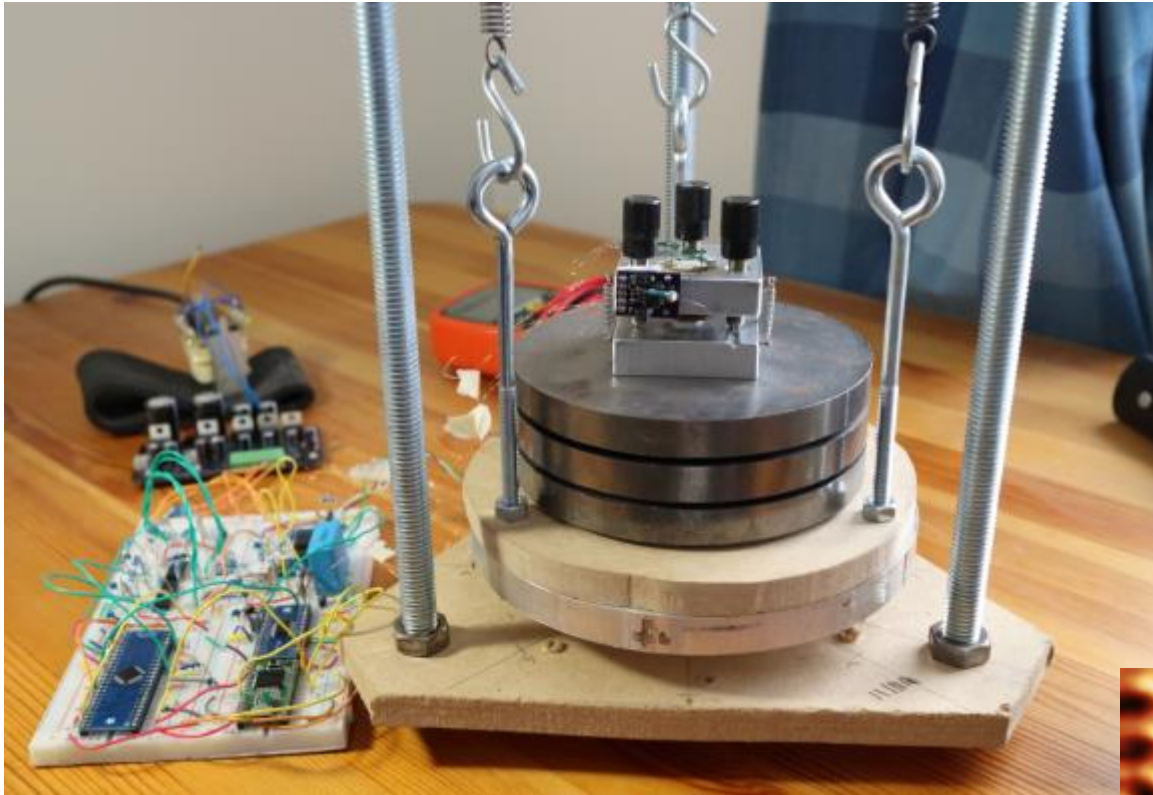
AFM



STM

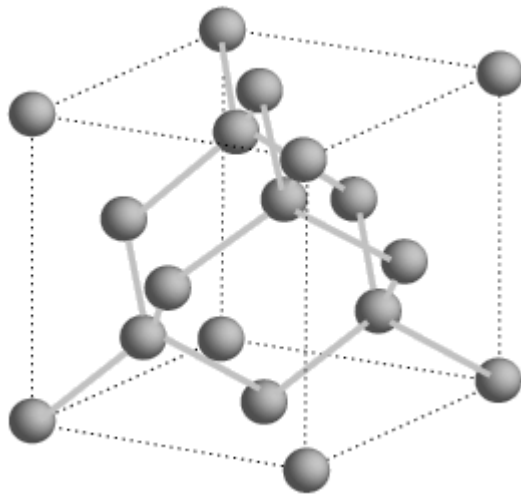


<https://dberard.com/home-built-stm/>



Propriedades da Matéria

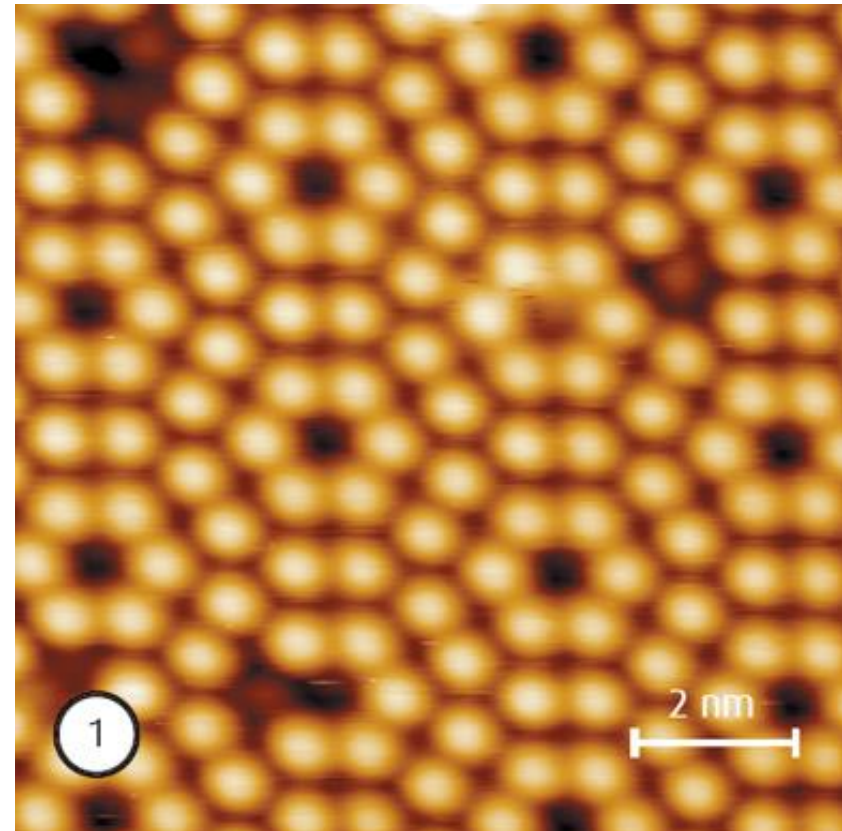
- Propagação de Calor (Condução)
- Capacidade Calorífica
- Propagação de Ondas Eletromagnéticas
- Propagação de Ondas Mecânicas
- Transporte de Cargas (Corrente Elétrica)
- Emissividade (Elétrons e Fótons)



Silício

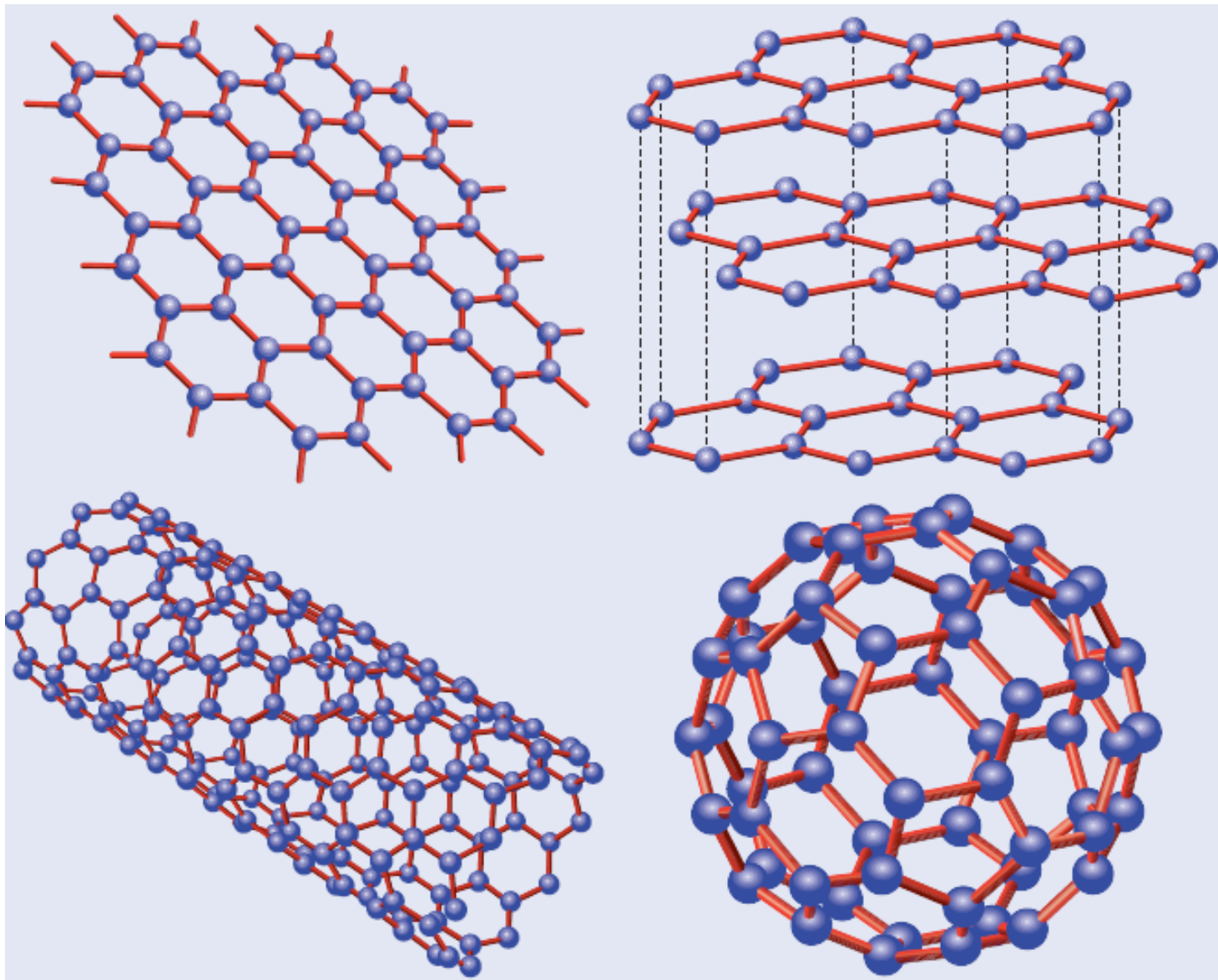
$a = 5,430$ angstroms

$d = 2,340$ angstroms



Si(111) por STM

Organização de Átomos de Carbono



Prêmio Nobel de Física - 2010



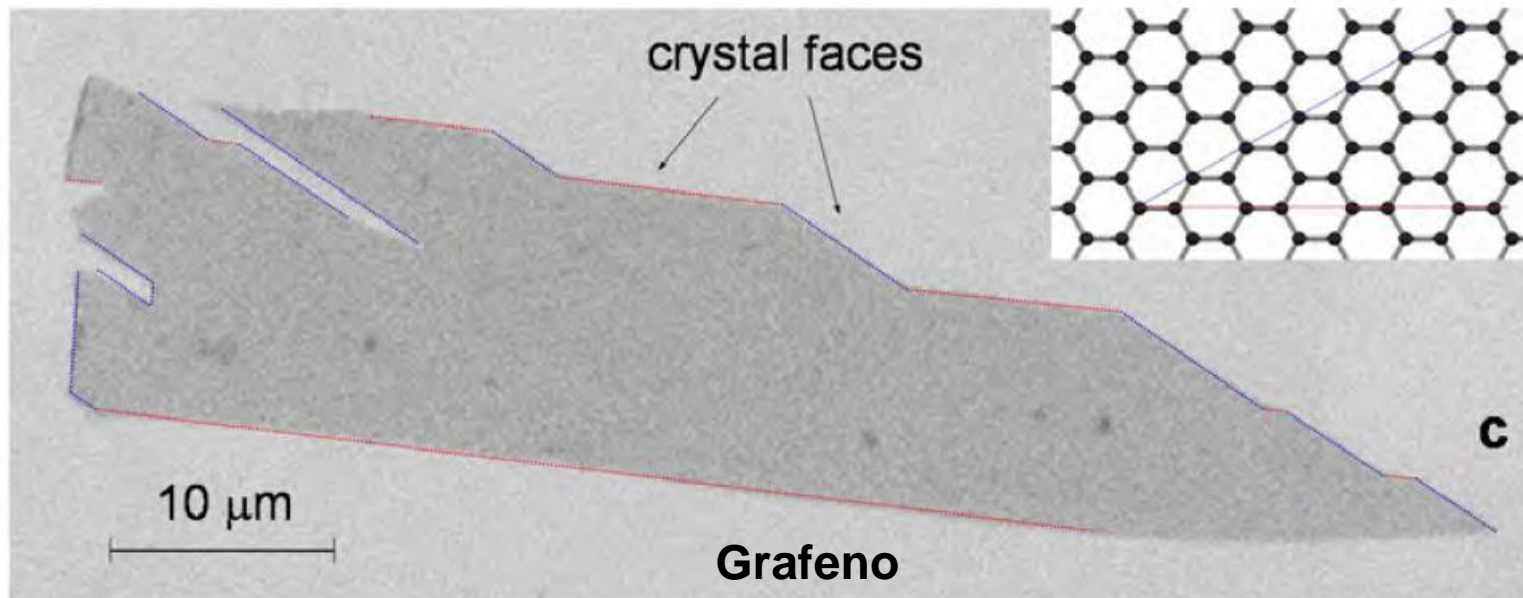
Photo: Sergeom, Wikimedia Commons

Andre Geim



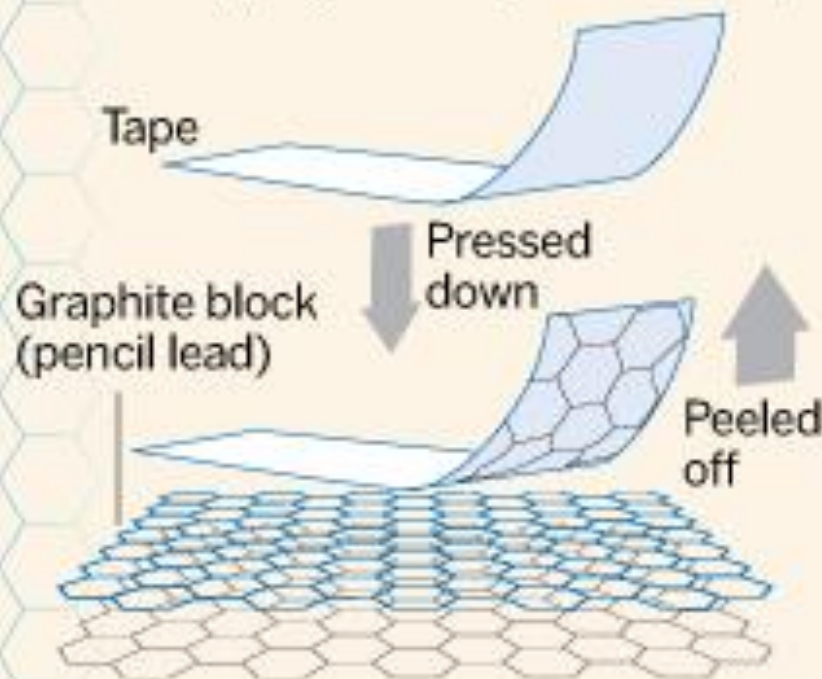
Photo: University of Manchester, UK

**Konstantin
Novoselov**

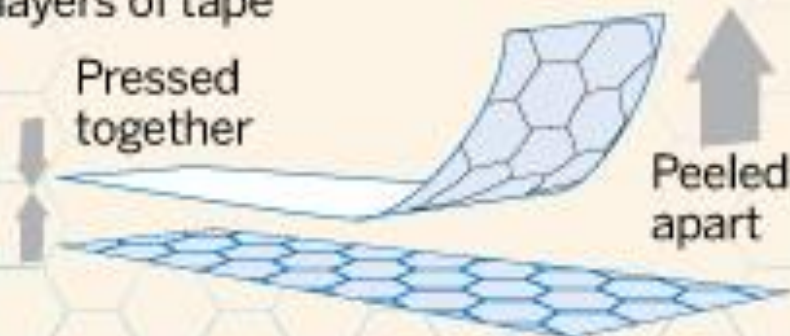


Method 1: Mechanical exfoliation

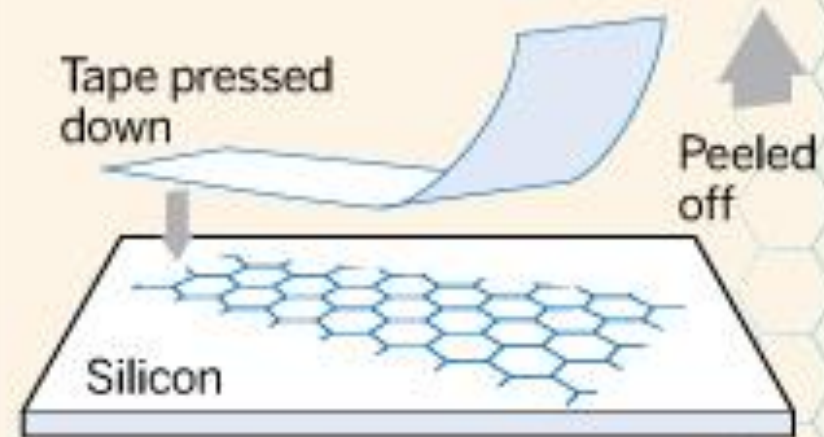
1 A sticky 'tape' is placed on to a block of graphite and then peeled back, stripping a thin layer off the top



2 This layer of carbon is thinned further by pressing it on to other layers of tape



3 The tape is finally pressed onto a very smooth substrate such as silicon then peeled off, leaving a graphene layer a single atom thick

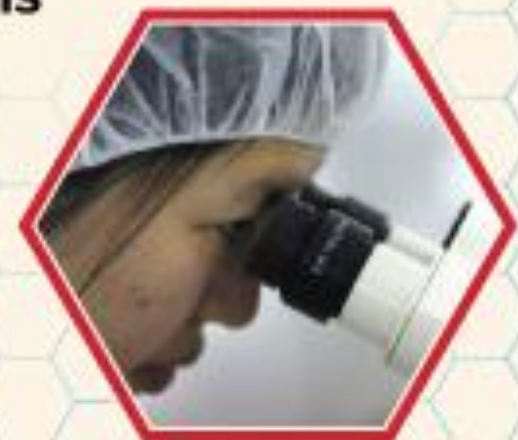


Sample size

Greater than 1mm

Applications

Research





Silicene: Compelling Experimental Evidence for Graphenelike Two-Dimensional Silicon

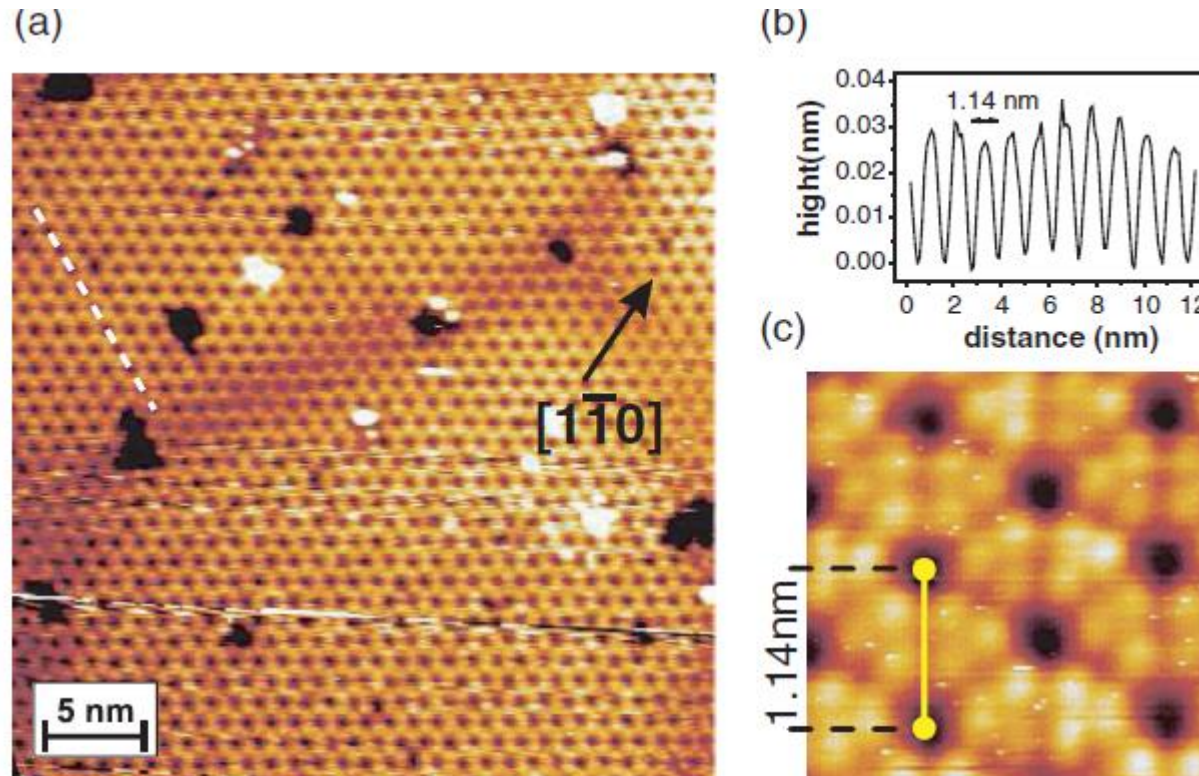


FIG. 2 (color). (a) Filled-states STM image of the 2D Si layer on Ag(111)-(1 \times 1) ($U_{\text{bias}} = -1.3$ V, $I = 0.35$ nA). Clearly visible is the honeycomblike structure. (b) Line profile along the dashed white line indicated in (a). The dark centers in the STM micrograph are separated by 1.14 nm, corresponding to 4 times the Ag(111) lattice constant, in agreement with the (4 \times 4) symmetry. (c) High-resolution STM topograph (3 \times 3 nm, $U_{\text{bias}} = -1.3$ V, $I = 0.35$ nA) of the Si adlayer.

Equações de Maxwell – Eletromagnetismo Clássico

$$\text{Gauss: } \begin{cases} \nabla \cdot \vec{D} = \rho \\ \nabla \cdot \vec{B} = 0 \end{cases}$$

$$\text{Faraday: } \nabla \times \vec{\mathcal{E}} = -\frac{\partial \vec{B}}{\partial t}$$

$$\text{Ampère: } \nabla \times \vec{H} = \vec{J} + \frac{\partial \vec{D}}{\partial t}$$

Corrente de Condução + Convecção

Corrente de Deslocamento

$$\vec{D} = \epsilon \vec{\mathcal{E}}$$

$$\vec{B} = \mu \vec{H}$$

Equações de Onda

Aproximação sem cargas livres: $\rho = 0$ e $J = 0$

Vetor Campo Elétrico

$$\nabla^2 \vec{\mathcal{E}}(\vec{r}, t) - \mu\epsilon \frac{\partial^2 \vec{\mathcal{E}}(\vec{r}, t)}{\partial t^2} = 0$$

Vetor Campo Magnético

$$\nabla^2 \vec{H}(\vec{r}, t) - \mu\epsilon \frac{\partial^2 \vec{H}(\vec{r}, t)}{\partial t^2} = 0$$

$$v = 1/\sqrt{\mu\epsilon}$$

$$\frac{\partial^2 \vec{\mathcal{E}}(x, t)}{\partial x^2} = \frac{1}{v^2} \frac{\partial^2 \vec{\mathcal{E}}(x, t)}{\partial t^2}$$

$$\frac{\partial^2 \vec{H}(x, t)}{\partial x^2} = \frac{1}{v^2} \frac{\partial^2 \vec{H}(x, t)}{\partial t^2}$$

$$\vec{\mathcal{E}}(x, t) = \vec{\mathcal{E}}_0 \cos(kx - \omega t)$$

$$\vec{H}(x, t) = \vec{H}_0 \cos(kx - \omega t)$$

$$\omega = vk$$

$$\mathcal{E}_0 = \sqrt{\mu/\epsilon} H_0 \quad \omega = 2\pi\nu \quad \nu = 1/T$$

Letras Gregas

maiúsculas		
Alfa: Α	Iota: Ι	Rô: Ρ
Beta: Β	Kapa: Κ	Sigma: Σ
Gama: Γ	Lâmbda: Λ	Tau: Τ
Delta: Δ	Mi: Μ	Upsilon: Υ
Epsilon: Ε	Ni: Ν	Fi: Φ
Zeta: Ζ	Csi: Ξ	Qui: Χ
Eta: Η	Ômicron: Ο	Psi: Ψ
Theta: Θ	Pi: Π	Ômega: Ω

minúsculas		
Alfa: α	Iota: ι	Rô: ρ
Beta: β	Kapa: κ	Sigma: σ
Gama: γ	Lâmbda: λ	Tau: τ
Delta: δ	Mi: μ	Upsilon: υ
Epsilon: ε	Ni: ν	Fi: φ (ou ϕ)
Zeta: ζ	Csi: ξ	Qui: χ
Eta: η	Ômicron: ο	Psi: ψ
Theta: θ	Pi: π	Ômega: ω

Propagação de Onda Eletromagnética

$$v_f = \frac{\omega}{k} = \frac{c}{n}$$

Dispersão Linear

$$v_g = \frac{c}{n} = \frac{\partial \omega}{\partial k}$$

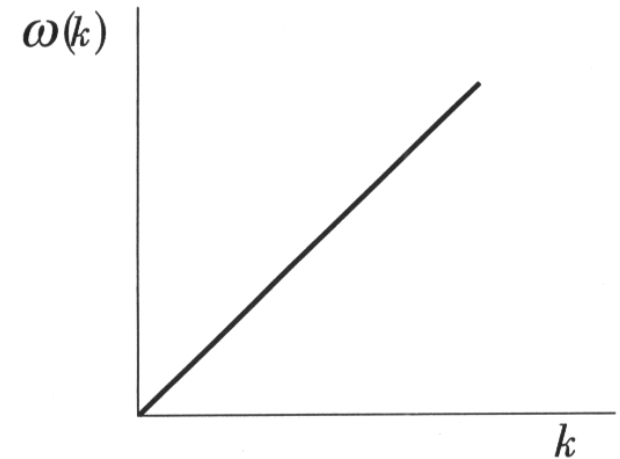
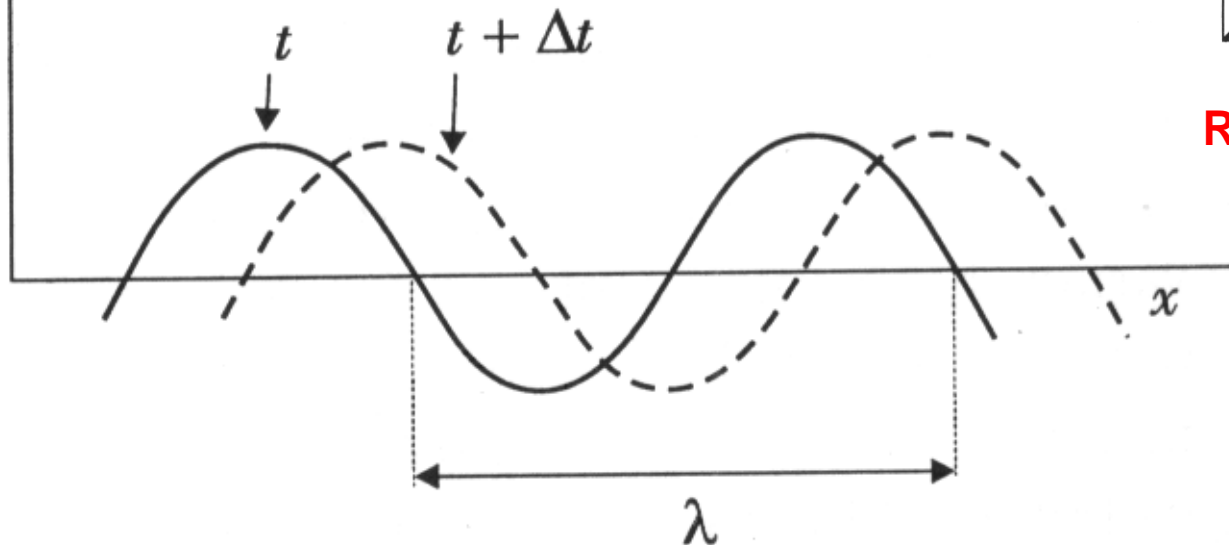
$$n = (\mu\epsilon/\mu_0\epsilon_0)^{1/2}$$

$$\lambda = \frac{2\pi}{k}$$

$$c = 1/\sqrt{\mu_0\epsilon_0}$$

$\mathcal{E}(x, t)$

$$\vec{\mathcal{E}}(x, t) = \vec{\mathcal{E}}_0 \cos(kx - \omega t)$$



Relação de Dispersão Linear

Propagação de Onda Eletromagnética

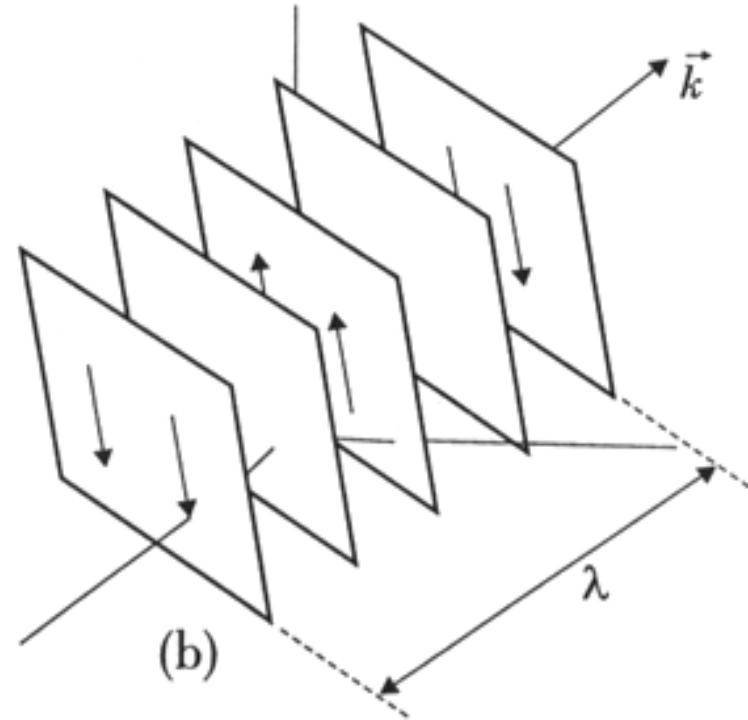
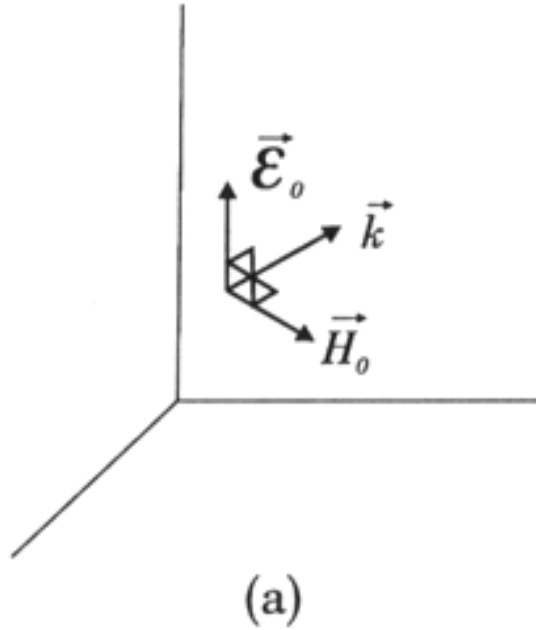
$$\vec{\mathcal{E}}(\vec{r}, t) = \vec{\mathcal{E}}_0 \cos(\vec{k} \cdot \vec{r} - \omega t + \phi) \quad \vec{H}(\vec{r}, t) = \vec{H}_0 \cos(\vec{k} \cdot \vec{r} - \omega t + \phi)$$

$$\vec{H}_0 = \frac{\sqrt{\epsilon/\mu}}{k} \vec{k} \times \vec{\mathcal{E}}_0$$

Euler: $e^{i\theta} = \cos \theta + i \sin \theta$

$$\vec{\mathcal{E}}(\vec{r}, t) = \text{Re} \left[\vec{\mathcal{E}}_0 e^{i(\vec{k} \cdot \vec{r} - \omega t + \phi)} \right] \quad \vec{H}(\vec{r}, t) = \text{Re} \left[\vec{H}_0 e^{i(\vec{k} \cdot \vec{r} - \omega t + \phi)} \right]$$

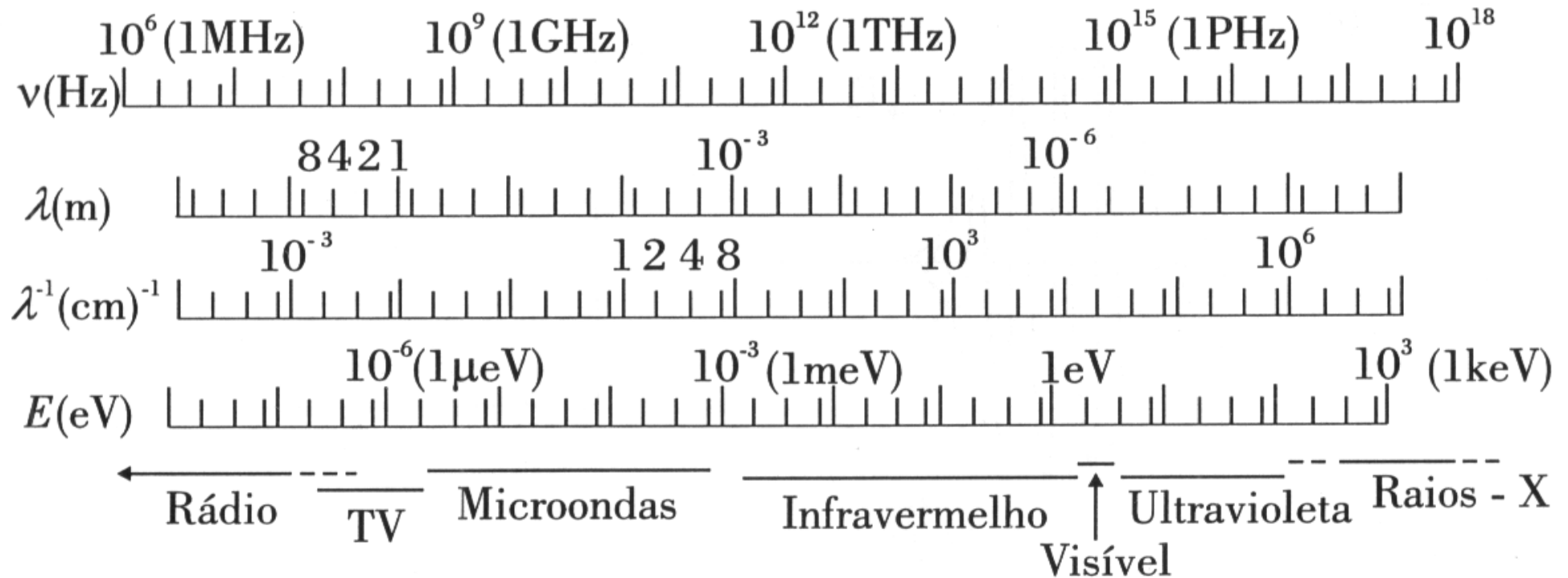
Propagação de Onda Eletromagnética



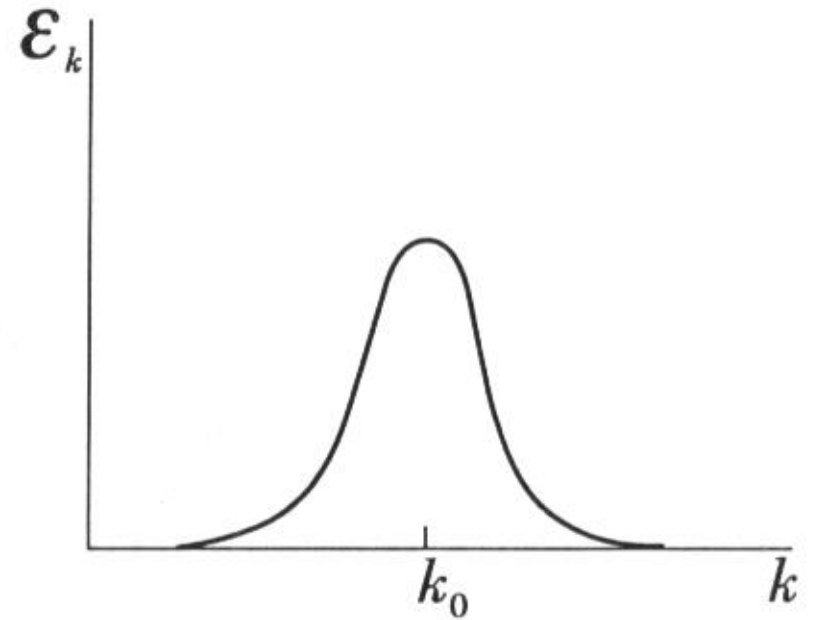
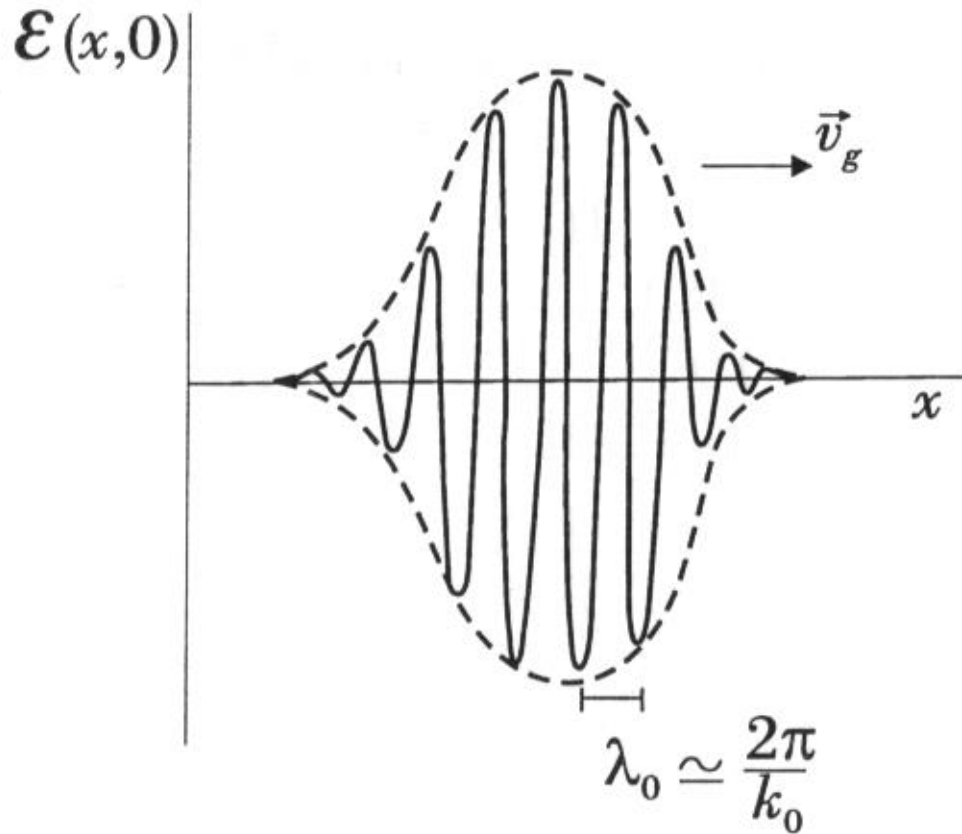
$$v_f = \omega/k$$

$$\omega(k) = ck/n$$

Espectro Eletromagnético



Grupo de Ondas Planas

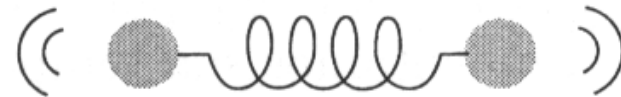
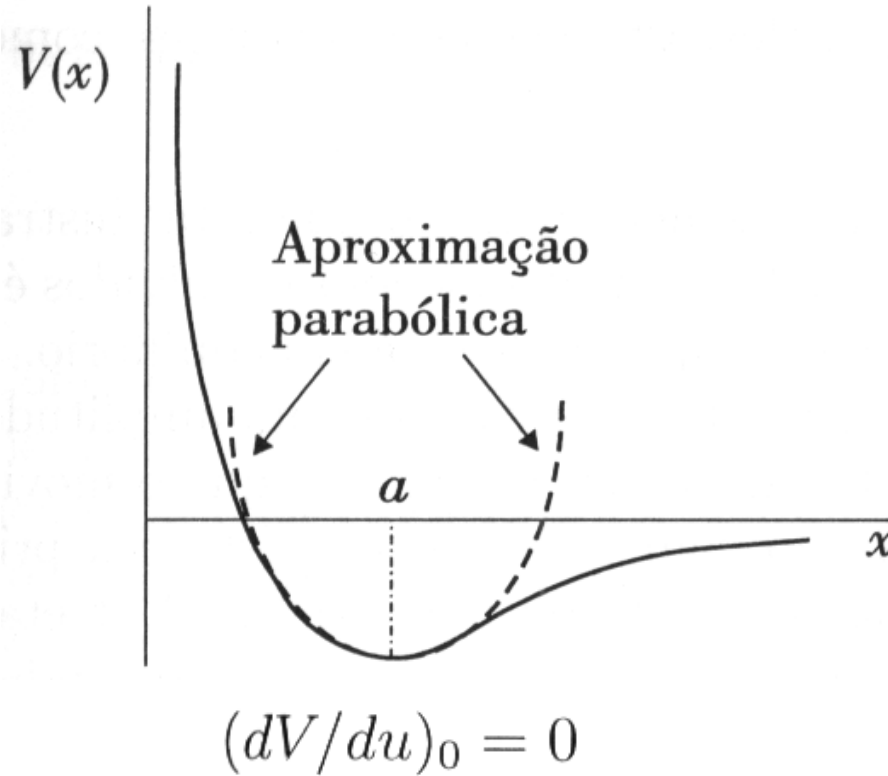


$$\vec{\mathcal{E}}_k = \frac{1}{2\pi} \int_{-\infty}^{\infty} \vec{\mathcal{E}}(x, 0) e^{-ikx} dx$$

$$\vec{\mathcal{E}}(x, 0) = \int_{-\infty}^{\infty} \vec{\mathcal{E}}_k e^{ikx} dk$$

$$v_g = \left. \frac{\partial \omega}{\partial k} \right|_{k_0}$$

Ondas Elásticas em Sólidos



$$u = x - a$$

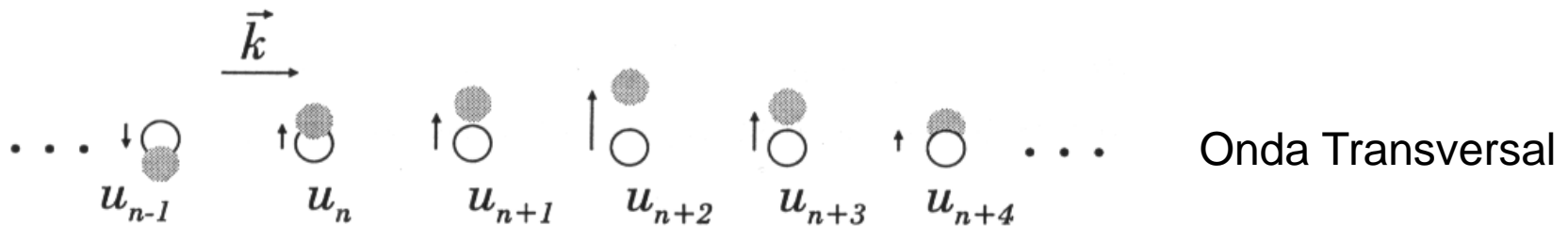
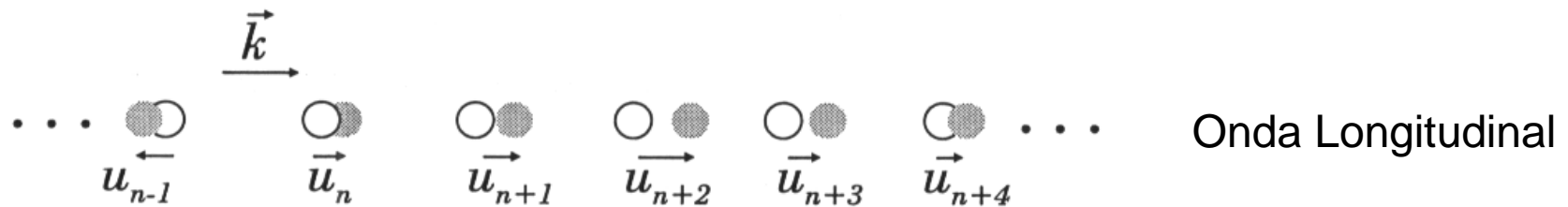
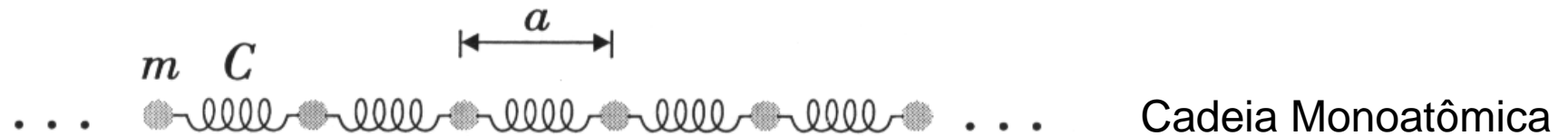
Série de Taylor: $V(u) = V(0) + \left(\frac{dV}{du}\right)_0 u + \frac{1}{2} \left(\frac{d^2V}{du^2}\right)_0 u^2 + \dots$

$$V(u) \simeq V(0) + \frac{1}{2} C u^2 \quad C = (d^2V/du^2)_0$$

Oscilador Harmônico Simples: $F(u) = -\frac{dV}{du} = -Cu$

Propagação de Ondas Elásticas em Sólidos

$$F_n = C \{ (u_{n+1} - u_n) - (u_n - u_{n-1}) \} = C(u_{n+1} - 2u_n + u_{n-1})$$



$$m \frac{d^2 u_n}{dt^2} \equiv m \ddot{u}_n = C(u_{n+1} - 2u_n + u_{n-1})$$

$$u_n(x, t) = u_k(t) e^{ikna}$$

$$x = na$$

$$m \ddot{u}_k = C u_k (e^{ika} - 2 + e^{-ika}) = 2 C u_k (\cos ka - 1)$$

$$u_k(t) = A e^{-i\omega_k t}$$

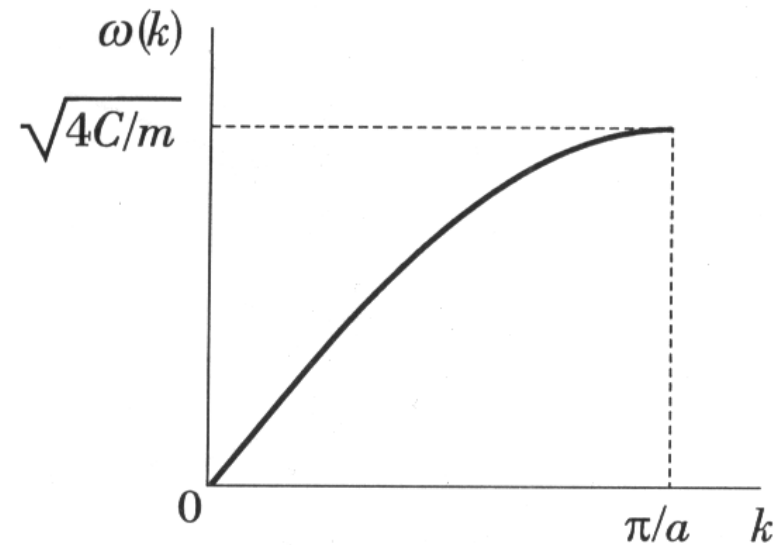
$$\omega(k) = \left(\frac{2C}{m} \right)^{1/2} (1 - \cos ka)^{1/2}$$

$$\lambda \gg a$$

$$\cos ka \simeq 1 - (ka)^2/2$$

$$\omega(k) = \sqrt{C/m} \quad ka$$

$$v = \sqrt{C/m} \, a \sim 10^4 \text{ m/s}$$



Relação de Dispersão

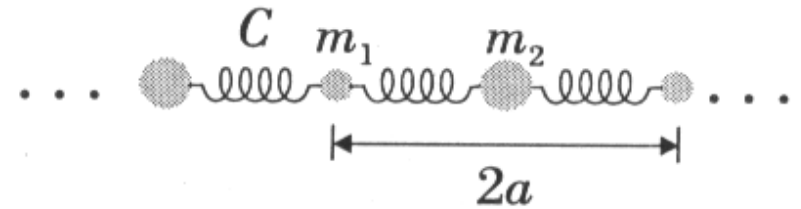
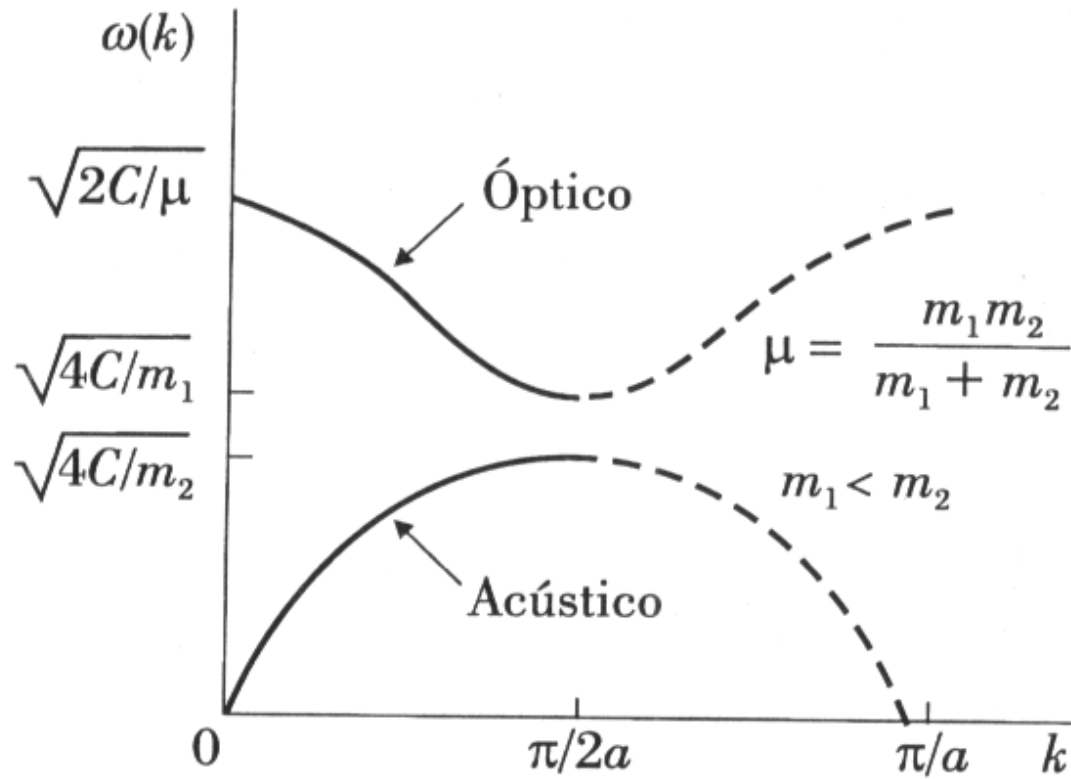
Primeira Zona de Brillouin: $-\pi/a < k < \pi/a$

$$\lambda = 2a \quad ka = \pi \quad \longrightarrow \quad \omega_{\max} = \sqrt{4C/m}$$

$$\omega_{\max} \sim 1 \text{ a } 10 \text{ THz}$$

$$1 \text{ THz} = 1 \times 10^{12} \text{ Hz}$$

Cadeia Diatômica



Relação de Dispersão

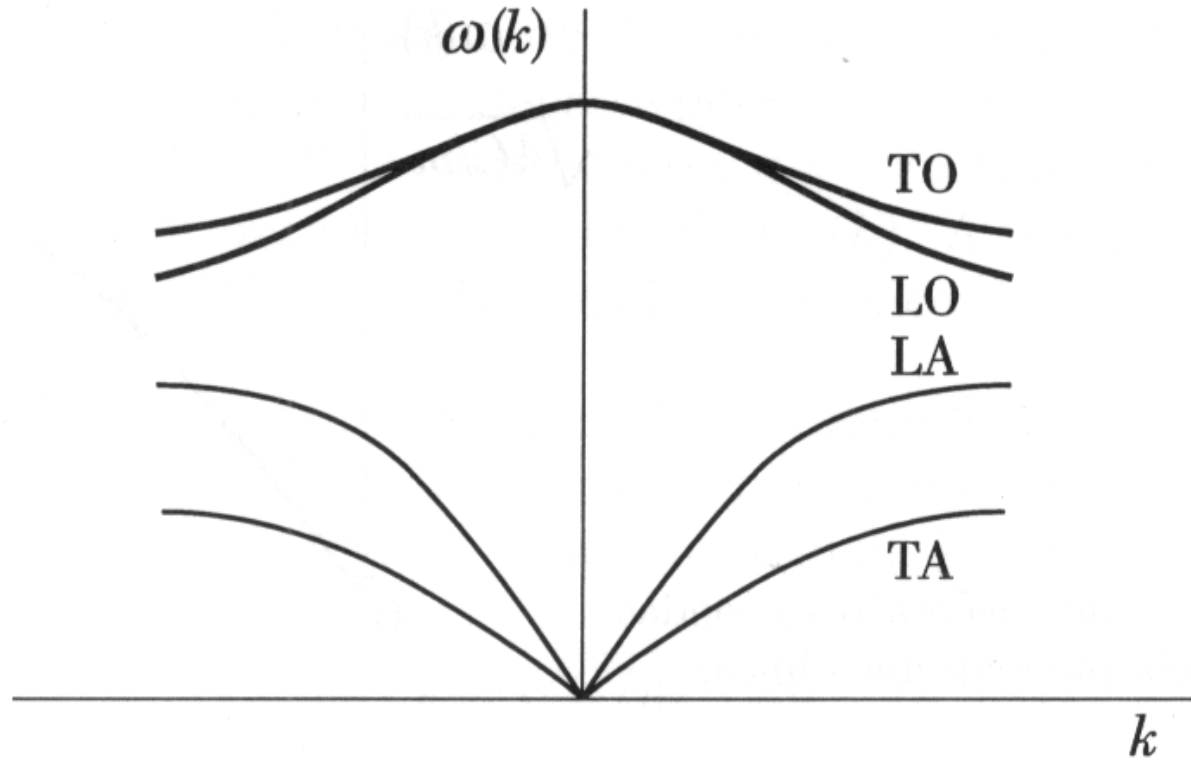
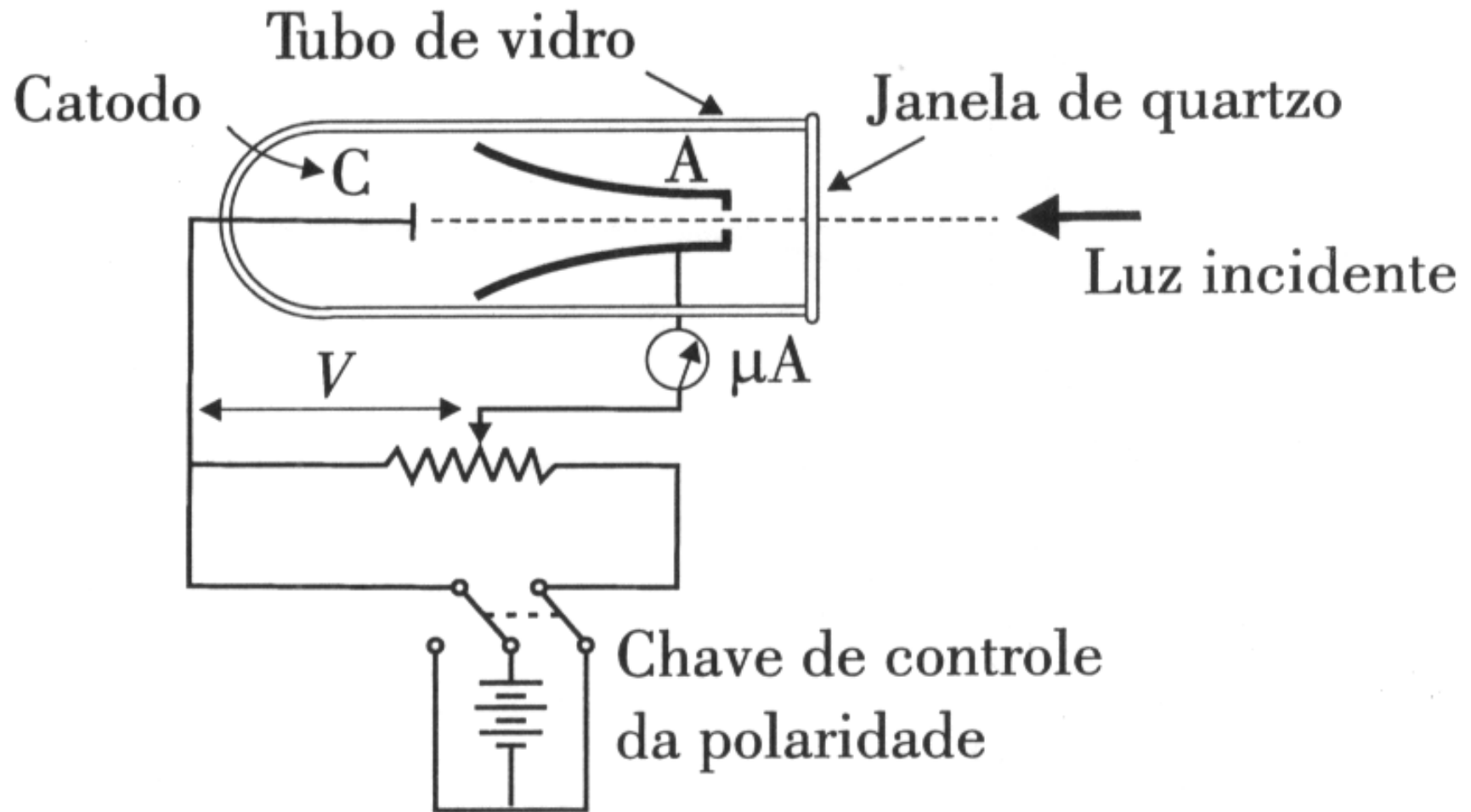


Figura 2.10: Curvas de dispersão de ondas elásticas em um cristal cúbico diatômico, com o vetor de onda na direção de um eixo principal (L = longitudinal, T = transversal, O = óptico e A = acústico).

$$\vec{R}_\lambda(\vec{r}, t) = \text{Re} \left[A_k e^{i(\vec{k} \cdot \vec{r} - \omega_\lambda t)} \right]$$

Efeito Fotoelétrico



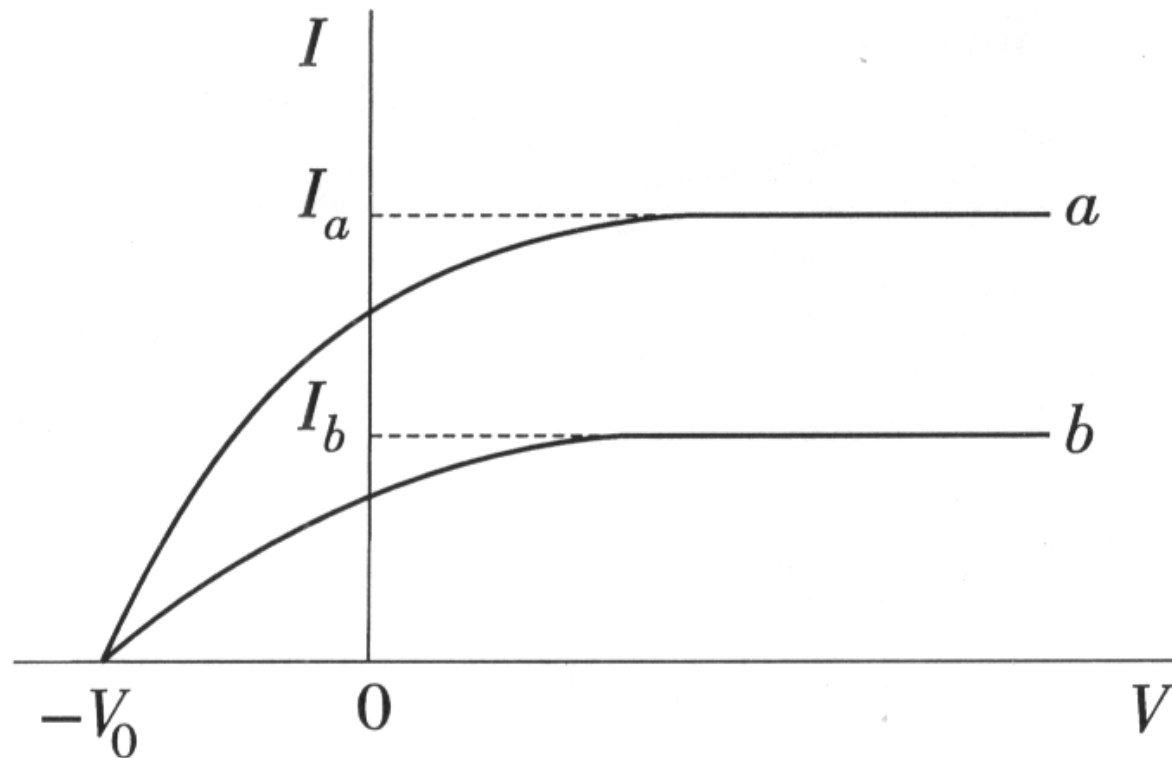
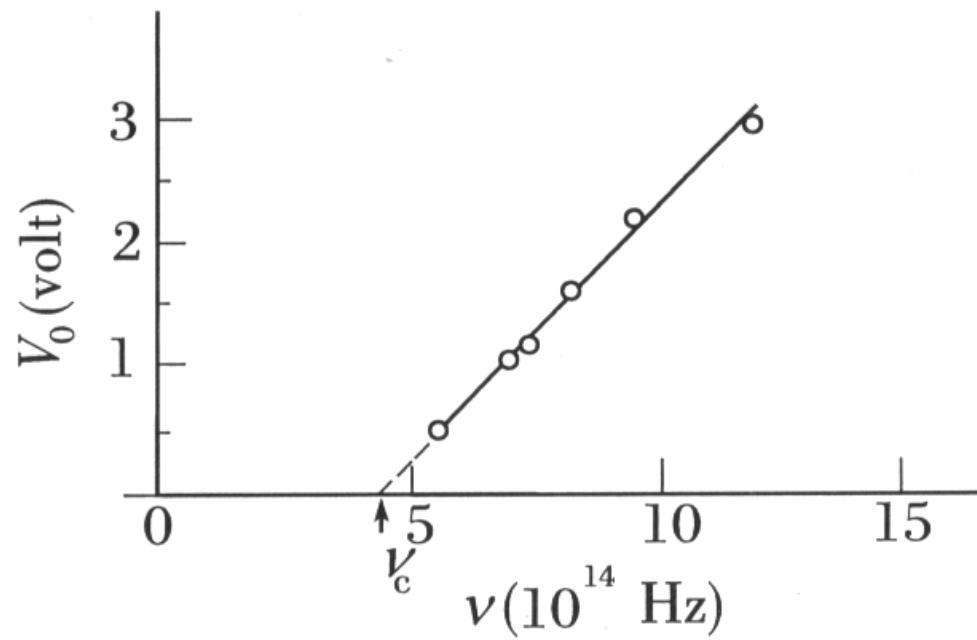


Figura 2.12: Variação da corrente fotoelétrica com a tensão aplicada, para dois valores de intensidade da luz incidente. A tensão V_0 é independente da intensidade de luz, mas a corrente de saturação é diretamente proporcional à mesma.

Energia Cinética Máxima: $T_{max} = e V_0$



sódio $\nu_c = 4,39 \times 10^{14} \text{ Hz}$

$$\lambda \simeq 683 \text{ nm}$$

$$h = 6,6262 \times 10^{-34} \text{ J.s}$$

$$E = h\nu = \hbar\omega$$

$$\hbar = h/2\pi$$

$$p = \frac{E}{c}$$

$$\vec{p} = \hbar \vec{k}$$

$$T = h\nu - W$$

$$T_{max} = h\nu - W_0$$

$$h\nu_c = W_0$$

Einstein (Nobel -1921)

$$eV_0 = h\nu - W_0$$

$$V_0 = \frac{h}{e} (\nu - \nu_c)$$

Exemplo 2.1: Numa experiência de efeito fotoelétrico, o material do fotocatodo é o lítio, cuja função trabalho é 2,3 eV, e o comprimento de onda da luz usada para iluminar o fotocatodo é 300 nm. Determine: a) A frequência de corte do lítio; b) O potencial de retardo.

a) A relação entre a função trabalho e a frequência de corte é dada pela Eq. (2.36). Então,

$$\begin{aligned}\nu_c &= \frac{W_0}{h} \simeq \frac{2,3 \text{ eV} \times 1,6 \times 10^{-19} \text{ coulomb}}{6,63 \times 10^{-34} \text{ joule-seg}} \\ &\simeq 5,5 \times 10^{14} \text{ Hz}\end{aligned}$$

b) O potencial de retardo é relacionado com a frequência de corte e a frequência da luz pela Eq.(2.38). A frequência da luz é,

$$\nu = \frac{c}{\lambda} = \frac{3,0 \times 10^8 \text{ m/s}}{300 \times 10^{-9} \text{ m}} = 10,0 \times 10^{14} \text{ Hz} .$$

Assim,

$$\begin{aligned}V_0 &= \frac{h}{e} (\nu - \nu_c) = \frac{6,63 \times 10^{-34} \text{ joule-seg}}{1,6 \times 10^{-19} \text{ coulomb}} \times 4,5 \times 10^{14} \text{ Hz} \\ &= 1,86 \text{ V}\end{aligned}$$

Dualidade Onda - Partícula

Louis de Broglie (Tese -1924, Nobel -1929)

$$E = h\nu \qquad p = h/\lambda$$

$$k = 2\pi/\lambda$$

$$p = \hbar k$$

$$\left. \begin{array}{l} v = 100 \text{ m/s} \\ m = 1,0 \text{ kg} \end{array} \right\} \longrightarrow \lambda = \frac{h}{p} = \frac{h}{mv} = \frac{6,6 \times 10^{-34}}{100} = 6,6 \times 10^{-36} \text{ m}$$

Não trata de fenômeno físico!

$$T = 100 \text{ eV} \longrightarrow \lambda = \frac{h}{p} = \frac{h}{\sqrt{2mT}} \simeq 1,2 \times 10^{-10} \text{ m} = 1,2 \text{ \AA}$$

Exemplo 2.2: Calcule as energias e as velocidades de um feixe de elétrons e outro de nêutrons, para que ambos tenham comprimento de onda de 2 Å.

A relação entre energia e comprimento de onda é dada pela Eq. (2.43). Então, $T = h^2/2m\lambda^2$. Para o feixe de elétrons $m = 9,1 \times 10^{-31}$ kg, logo,

$$\begin{aligned} T &= \frac{6,63^2 \times 10^{-68}}{2 \times 9,1 \times 10^{-31} \times 2^2 \times 10^{-20}} = 6,0 \times 10^{-18} \text{ J} \\ &= \frac{6,0 \times 10^{-18}}{1,6 \times 10^{-19}} \text{ eV} = 37,5 \text{ eV} \end{aligned}$$

A velocidade é relacionada com a energia cinética por $T = mv^2/2$. Portanto, a velocidade dos elétrons é,

$$v = (2T/m)^{1/2} = \left(\frac{2 \times 6,0 \times 10^{-18}}{9,1 \times 10^{-31}} \right)^{1/2} = 3,6 \times 10^6 \text{ m/s}$$

No caso do feixe de nêutrons, $m = 1,67 \times 10^{-27}$ kg. Então,

$$\begin{aligned} T &= \frac{6,63^2 \times 10^{-68}}{2 \times 1,67 \times 10^{-27} \times 2^2 \times 10^{-20}} = 3,3 \times 10^{-21} \text{ J} \\ v &= \left(\frac{2 \times 3,3 \times 10^{-21}}{1,67 \times 10^{-27}} \right)^{1/2} = 2,0 \times 10^3 \text{ m/s} \end{aligned}$$